

# 合金化溶融亜鉛めっき鋼板のめっき密着性とめっき/母材界面構造

## Coating Adhesion and Interface Structure of Galvannealed Steel

中森俊夫/Toshio Nakamori・本社 知的財産部 参事

土岐 保/Tamotsu Toki・総合技術研究所 薄板研究部 副主任研究員

荒井正浩/Masahiro Arai・総合技術研究所 基礎研究部 副主任研究員

足立吉隆/Yoshitaka Adachi・総合技術研究所 基礎研究部

### 要 約

極低炭素鋼板を母材とした合金化溶融 Zn めっき鋼板(以下GAと呼ぶ。)のめっき密着性に及ぼす皮膜中の Fe 濃度と浴中 Al 濃度の影響について、剪断引張試験法およびグラベロ試験法を用いて調査を行った。皮膜/母材界面の幾何学的形状と皮膜の密着性の関係を検討するため、GA皮膜を塩酸で溶解させ、露出した母材表面を調査した。

GA皮膜は皮膜中 Fe 濃度が 8~10% の範囲で剪断引張試験では密着強度が最も低い値を示し、また、グラベロ試験では剥離径が最も大きくなる。さらに皮膜中 Fe 濃度が増加すると、皮膜の密着強度が増加し、まためっき浴中の Al 濃度を高くすると、9% の Fe 濃度付近の皮膜の密着強度の最小値も引き上げられる。(剥離径の最大値も抑えられる。)

低 Al 濃度かつ 8~9% の Fe 濃度皮膜では、酸で露出させた鋼板表面は均一かつ平滑であるが、比較的高い密着強度を有する皮膜では、不均一で荒れた表面を有している。さらに皮膜中の Fe 濃度が増加すると  $\Gamma$  相が成長し、皮膜/母材界面で約 100nm のピッチを有するレッジが形成される。さらに浴中の Al 濃度が増加すると、不均一な合金相が形成され、特に不連続な  $\Gamma$  相の形成は、皮膜/母材界面で  $\alpha$ -Fe の粒界に相当するピッチで凹凸を形成する。以上の結果、皮膜の密着強度は皮膜/母材界面の凹凸によって支配され、不連続な  $\Gamma$  相の形成は、密着強度の増加に寄与していることが判明した。

### Synopsis

The effect of Fe content of coating and Al content in the galvanizing bath on the coating adhesion of galvannealed ultra-low carbon IF (Interstitial Free) steel sheet was investigated using a lap-shear method and a gravel method. The exposed steel surface after removal of the galvannealed coating with hydrochloric acid solution was examined so as to discuss the relation between the geometrical shape of the coating/steel interface and the coating adhesion.

Galvannealed coating exhibits minimum adhesion strength and maximum peeling diameter in the region of 8–10 mass% Fe. Further increment of Fe content raised the coating adhesion, and high Al addition to the galvanizing bath also raised the minimum adhesion strength and lowered the maximum peeling diameter of the coating around 9 mass% Fe.

The steel surface exposed by the acid was even and smooth for the low Al content coating with 8–9 mass% Fe, but was uneven or rugged for the coating with relatively high coating adhesion. Further increment of Fe content in the coating developed a  $\Gamma$ -phase to form ledges with a pitch of about 100 nm at the coating/steel interface, and the increase of Al in the galvanizing bath resulted in uneven alloy formation, particularly discontinuous formation of the  $\Gamma$ -phase, causing uneven erosion of the steel surface and forming the ruggedness with a pitch comparable with  $\alpha$ -Fe grain size at the coating/steel interface. It was assumed that the coating adhesion is governed by the ruggedness of the coating/steel interface and that formation of the  $\Gamma$ -phase contributes to increasing the adhesion strength.

### 1. 緒 言

合金化溶融亜鉛めっき鋼板(以下GA)は、その優れた塗装後耐食性あるいは溶接性から、自動車車体鋼板として外装用途を含め大量に使用されている。しかし、GAでは金属間化合物で構成された皮膜の脆性が皮膜性能上の問題

点となる場合があり、めっき/鋼界面の密着性(以下界面密着性)の問題もその一つと考えられる。

GA皮膜の界面密着性の問題は、従来からプレコート鋼板でのエナメルヘア<sup>1)</sup>あるいは接着剤による継手強度の低下<sup>2),3)</sup>として報告された事例があるが、自動車車体用鋼板への適用においては外装材外面における低温チッピング

性<sup>4)</sup>が重要であろう。低温チッピングは寒冷地において車体面に石跳ね等による衝撃が加わった場合、低温で硬質化した塗膜が剥離する現象であるが、塗膜下のめっき皮膜に延性がない場合は、塗膜とともにめっき皮膜が、ほぼめっき／鋼界面で剥離し、防食上の観点からも問題となる。

GA皮膜の界面密着性については、パウダリング<sup>5),6)</sup>やフレーキング現象<sup>7),8)</sup>に比べれば過去の研究事例は少なく、皮膜の合金化度やめっき浴のAl濃度の影響が報告されているもののその関与機構は必ずしも明確ではない。

本稿では、自動車車体用に多用されている極低炭素Ti添加IF(Interstitial-Free)鋼GAを対象として界面密着性に及ぼす皮膜Fe濃度およびめっき浴Al濃度の影響を検討した結果を概説する。ここでは界面密着性の評価として引張剪断接着試験および低温チッピング試験を行い、上記要因の影響を主としてめっき／鋼の界面構造の観点から考察した。

## 2. 実験方法

### 2-1 供試材の作成

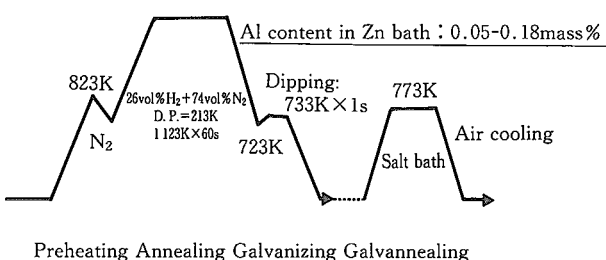
供試材は第1表に示す化学組成の極低炭素Ti添加鋼冷延フルハード材、板厚0.8mmを用いた。この素材を230mm×100mmに裁断し、有機溶剤で蒸気洗浄後、10%NaOH溶液75°Cで浸漬脱脂して溶融めっきに供した。

めっきにはガス還元型溶融めっき実験装置[株レスカ製]を用いた。焼鈍条件等加熱履歴およびめっき条件を第1図に示す。めっき浴のAl濃度は0.05-0.18%の間で変化させた。加熱合金化処理は500°Cに保持した塩浴中で行い、その後放冷することによって行った。

第1表 鋼板の化学成分値 (mass%)

Table 1 Chemical composition of steel sheet (mass%)

C	Si	Mn	P	S	Sol. Al	Ti
0.002	0.012	0.18	0.012	0.003	0.059	0.042



第1図 溶融めっきおよび合金化処理方法  
Fig.1 Procedure for galvanizing and galvannealing

### 2-2 引張剪断試験

皮膜／鋼板界面強度を引張剪断接着試験により評価した。試験片は20mmW×80mmLに裁断した矩形を20mmW×12.5mmLで重ね合せ、サンスター(株)製一液型エポキシ系構造用接着剤を用いて接着した。接着剤の厚みは250μmとした。試験片長手方向を引張り方向とし、(株)東洋精機製作所製2t引張試験機を用い23°Cの条件で1mm/minの速度で行った。

この方法で得られる界面強度は、基板鋼板の強度の影響を受け、負荷時に剪断変形以外に曲げ変形も加わるため、厳密な意味では剪断界面強度の評価ではないが、基板が同一である限り、実用的には十分な意味をもつと考えられる。

### 2-3 低温チッピング試験

得られたGA試験片を70×150mmに裁断し自動車車体用3コート塗装を施しグラベロ法により-20°Cの条件で低温チッピング試験を行った。GA試験片はあらかじめGAをリン酸塩処理液で処理した後、カチオン電着塗装(20μm)を施した後、中・上塗り(変性ポリエチル樹脂系)を行い合計で100μmの膜厚の塗装系とした。低温チッピング試験は石灰石の碎石(3~5×10<sup>-4</sup>kg/個)を空気圧2kg/cm<sup>2</sup>で試験片に10個投射した、グラベロ投射を行った試験片に接着テープを貼付け強制的に剥離、前記10点の剥離径の平均径を評価値とすることで行った。

### 2-4 めっき皮膜の調査

GA皮膜の組成は皮膜を0.5Vol%のインヒビター(朝日化学Ibit-700B)を含有する10%塩酸に溶解してInduced Coupled Plasma (ICP)により分析した。また、前記方法で皮膜を溶解除去した後の鋼板表面の形態をSEMによって観察した。引張剪断試験および低温チッピング試験の剥離箇所についてはSEM/EDAXによる調査を行った。

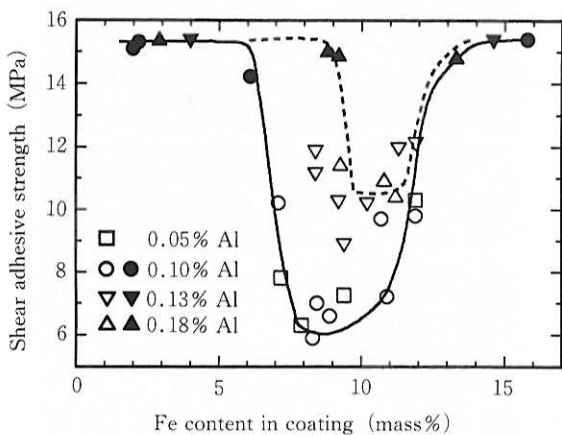
## 3. 実験結果

### 3-1 界面密着性の変化

第2図<sup>9)</sup>に皮膜のFe濃度と引張剪断接着強度の関係をめっき浴のAl濃度をパラメータとして示す。引張剪断接着強度は皮膜中Fe濃度6%以下では比較的高い値を示し、8~10%で極小となり、さらに12%程度以上では回復する傾向が認められる。また、めっき浴のAl濃度の高い場合は接着強度の極小値の低下が抑制される傾向にある。剥離形態については、図中●■▲は接着剤での凝集破壊が主、○□△はめっき／鋼板の界面剥離が主であることを示す。また、皮膜Fe濃度3%以下の場合は、完全な接着剤層での凝集破壊が認められた。

第3図は低温チッピング試験における剥離径に及ぼす皮

膜 Fe 濃度の影響を浴 Al 濃度 0.10%, 0.15% の 2 水準で示す。引張剪断試験の場合に類似して、耐低温チッピング性は 8~9% で大きく劣化し、皮膜 Fe 濃度の増加あるいはめっき浴 Al 濃度の増加により向上する傾向が認められる。

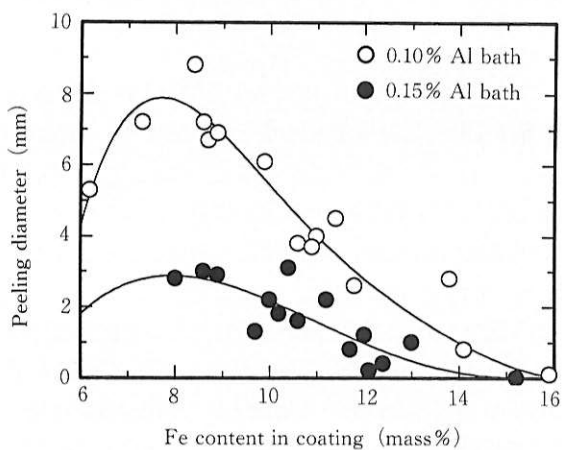


第 2 図 めっき浴中の Al 濃度と皮膜中 Fe 濃度に対する皮膜剪断強度の変化

黒又り：接着剤の凝集破壊  
白又キ：めっき／鋼板界面での剥離

Fig.2 Variation of shear adhesive strength of coating with Fe content in coating and Al content in galvanizing bath

Solid marks : failure at coating/steel interface  
Open marks: cohesive failure

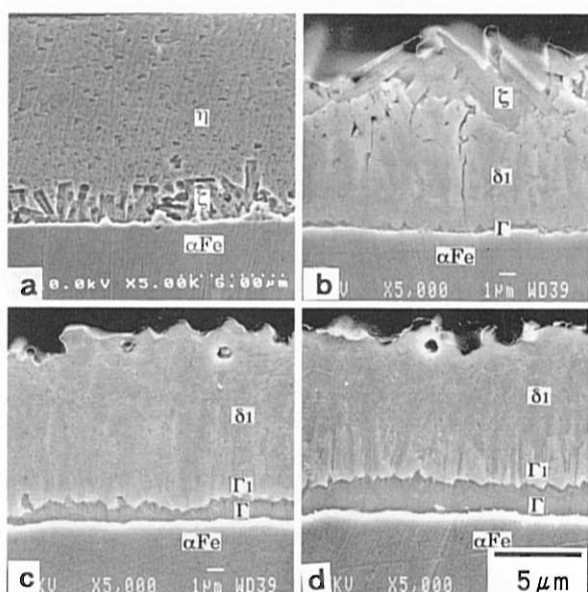


第 3 図 めっき浴中の Al 濃度と皮膜中 Fe 濃度に対する皮膜剥離径の変化

Fig.3 Variation of peeling diameter of coating with Fe content in coating and Al content in galvanizing bath

### 3-2 加熱合金化処理に伴う皮膜構造の変化

第 4 図<sup>10)</sup>は 0.1% Al 浴から得られた皮膜の合金化処理過程における皮膜構造の変化挙動を示す。皮膜中には合金化度に応じて,  $\text{FeZn}_{13}$  ( $\zeta$ ),  $\text{FeZn}_7$  ( $\delta_1$ ),  $\text{Fe}_5\text{Zn}_{21}$  ( $\Gamma_1$ ),  $\text{Fe}_3\text{Zn}_{10}$  ( $\Gamma$ ) 相の 4 種類の Fe-Zn 金属間化合物相が析出する。この挙動を状態図(皮膜 Fe 濃度と相割合の関



第 4 図 773K で合金化処理を施したときの断面皮膜構造の変化  
(めっき浴中の Al 濃度: 0.1 mass %).

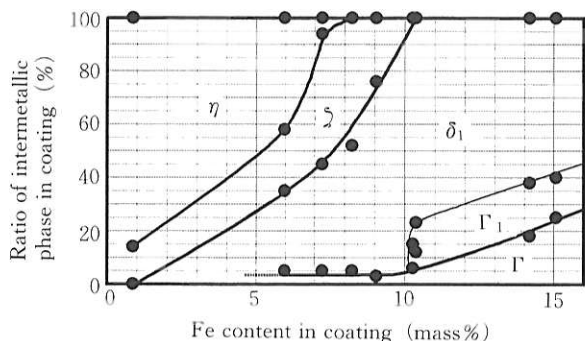
- (a) めっきまま (2.5% Fe)
- (b) 合金化 15s (9.1% Fe)
- (c) 合金化 65s (11.6% Fe)
- (d) 合金化 300s (14.6% Fe)

Fig.4 Change of cross-sectional microstructure of 0.1 mass% Al coating during galvannealing at 773K  
(Al content in galvanizing bath; 0.1 mass%)  
(a) As-galvanized (2.5% Fe)  
(b) Galvannealed for 15s. (9.1% Fe)  
(c) Galvannealed for 65s. (11.6% Fe)  
(d) Galvannealed for 300s. (14.6% Fe)

係)としてまとめたものが第 5 図である。皮膜 Fe 濃度が約 7% 付近では、 $\eta + \zeta + \delta_1 + \Gamma$  相が共存し、9~10%において( $\zeta$ ) +  $\delta_1$  +  $\Gamma$  組織となる。さらに、合金化が進行し 10~11% Fe 以上の領域では、 $\Gamma_1$  相が  $\delta_1$  相と  $\Gamma$  相の界面に析出し、また  $\Gamma$  相が顕著に成長することが分る。

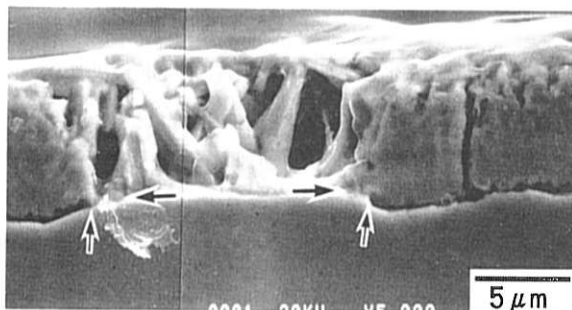
第 6 図<sup>11)</sup>は浴中 Al 濃度 0.18% のめっき浴から得られた皮膜の、Fe 濃度 9.6% における皮膜組織を示す。第 4 図の 0.1% Al 浴めっき材 (例えば 11.6% Fe) では皮膜がマクロ的に均一であり、かつ  $\Gamma$  相が比較的均一な厚さで析出しているのに対し、0.18% Al 浴のめっき材では皮膜の厚さが不均一であり、その不均一さのピッチはほぼ基板鋼板の  $\alpha\text{-Fe}$  結晶粒径と同程度となっており、さらに、めっき層の薄い部分で  $\Gamma$  相の形成が抑制されていることも認められる。また第 6 図の合金化反応遅延部位 (めっき層の薄い部分) と  $\Gamma$  相析出部位の各々の皮膜/基板界面の位置の比較から、合金化処理に伴い界面が  $\alpha\text{-Fe}$  側に移動することが分る。すなわち、0.18% Al 浴から得られるめっき皮膜の合金化処理後の皮膜組織は、基板  $\alpha\text{-Fe}$  結晶粒単位で不均一となっていることが 0.1% Al のめっき材には見られない特徴である。

## 技術報文



第5図 773Kで合金化処理を施したときの合金相の形成比率と皮膜中Fe濃度の関係  
(めっき浴中Al濃度: 0.1mass%)

Fig.5 Relation between ratio of intermetallic phase and Fe content in coating galvannealed at 773K  
(Al content in galvanizing bath; 0.1mass%)



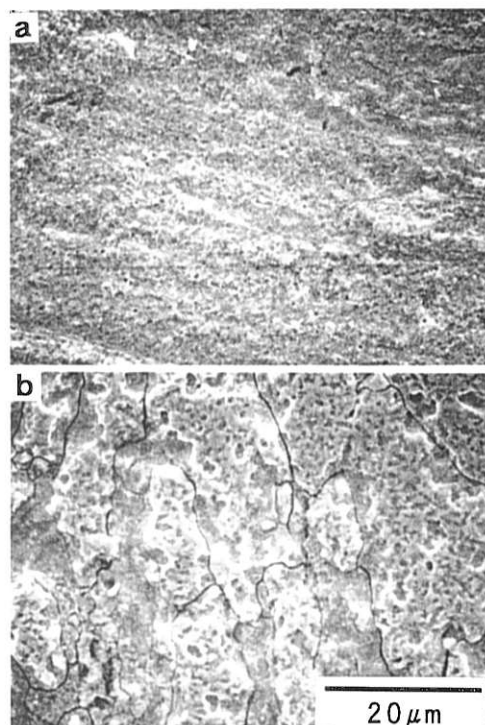
第6図 773Kで合金化処理した9.6%Fe-0.18%Al皮膜の断面構造 (めっき浴中Al濃度: 0.18mass%)  
矢印はΓ相の不連続部を示す

Fig.6 Cross-sectional microstructure of 9.6%Fe-0.18%Al coating galvannealed at 773K  
(Al content in galvanizing bath; 0.18mass%)  
Arrows indicate discontinuity of Γ-phase.

### 3-3 皮膜/基板界面構造

めっき層/鋼界面の幾何学的形態は、界面強度と密接に関係する因子の一つであると考えられるので、めっき層をインヒビター含有塗酸で溶解除去しその形態を観察した。

第7図<sup>9)</sup>は皮膜Fe濃度10%前後の状態における、めっき層除去後の鋼板表面形態を浴Al濃度0.10%, 0.18%の2水準で示す。0.1%Alめっき浴の場合(第7図(a))にはめっき層除去後の表面形態は比較的平坦であるのに対して、0.18%Alめっき浴の場合(第7図(b))には、基板αFe結晶粒程度のピッチを有する凹凸が認められる。

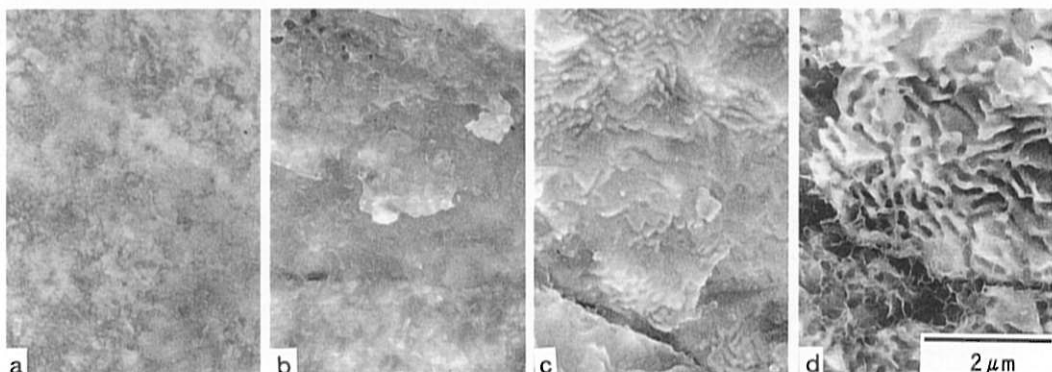


第7図 塩酸水溶液によって皮膜を溶解除去した鋼板表面のSEM写真

Fig.7 SEM micrographs of steel surface exposed by hydrochloric acid solution  
(a) 0.1mass%Al-11.6mass%Fe coating  
(b) 0.18mass%Al-10.2mass%Fe coating

この高Al浴条件(0.18%Al)下の不均一な界面形態は、第6図の不連続なΓ相形成とその結果としての鋼の侵食量の不均一に対応するものと考えられる。すなわち、Γ相が形成される程度に合金化反応が顕著であった部分の鋼素地は皮膜溶解除去後には凹部として観察されると考えられる。

第8図<sup>9)</sup>は、0.1%Al浴から得られた合金化処理材のめっき層除去後の鋼板表面の高倍率での形態観察結果を示す。0.1%Al浴の場合、めっき層除去後の鋼板表面の形態は、低倍率視野では比較的平坦であるが、皮膜中のFe濃度が約11%以上(Γ相の成長が顕著となる領域)になると、100nmピッチ程度の微細なレッジ構造が観察される。レッジ構造は、合金化の進行とともにかなり明瞭になるが、このことは、レッジ構造がΓ相成長と深く関連することを意味する。



第8図 皮膜を除去したあとの高倍率の鋼板表面 SEM 写真 (めっき浴中 Al 濃度 : 0.1mass %)  
 (a) 0.76mass % Fe (めっきまま) (b) 8.9mass % Fe (c) 10.6mass % Fe (d) 15.0mass % Fe  
 Fig.8 High magnification SEM micrographs of exposed steel surface after removal of galvannealed coating  
 (Al content in galvanizing bath; 0.1mass%)  
 (a) 0.76mass%Fe (b) 8.9mass%Fe (c) 10.6mass%Fe (d) 15.0mass%Fe

### 3-4 剥離面の形態

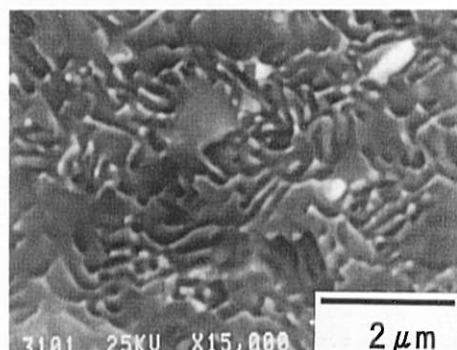
第9図は引張剪断試験における剥離面の形態を示す。剥離部鋼板素地側の形態は接着強度が低い場合、第9図(a)のように比較的平坦であるのに対して、接着強度が高い場合、わずかに界面剥離形態を示した部分では第9図(b)の例のように部分的に  $\alpha$ Fe 粒界での剥離が認められ、皮膜側には第9図(c)のように皮膜側への  $\alpha$ Fe 結晶粒の付着が認められる。また、 $\Gamma/\alpha$  界面のレッジ構造が形成される高 Fe 濃度皮膜の場合は  $\alpha$ Fe 粒が剥離した部分を除けば、第10図<sup>10)</sup>のように剥離部分で前述したレッジが観察された。

低温チッピング試験における剥離部の鋼板素地の形態も引張剪断試験の場合と同様の剥離形態が観察された。

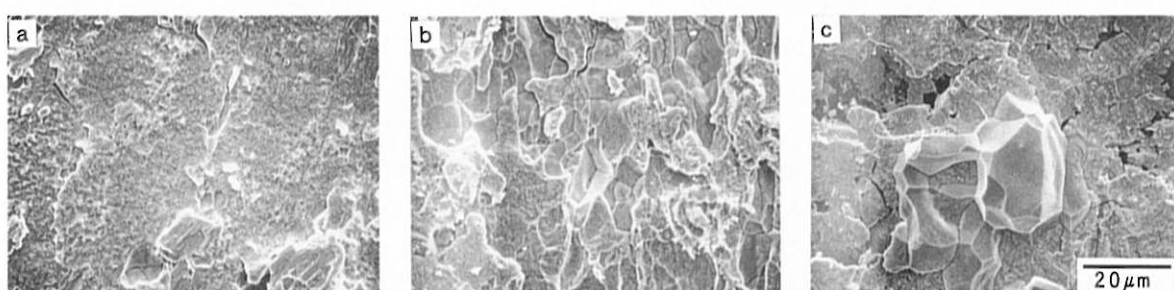
なお、第9図の例で露出した  $\alpha$ Fe 粒の表面を EDS で調査すると 10~20wt % 程度の Zn が検出されることから、こうした  $\alpha$ Fe 粒界での破壊は粒界への Zn 侵入に起因していることが推察できる。

第11図は浴 Al 濃度 0.15% のめっき層断面の合金化過程での形態変化を Nital 腐食により追跡したものであるが、合金化の進行により鋼表層の  $\alpha$ Fe 粒界の一部が鋭敏に腐

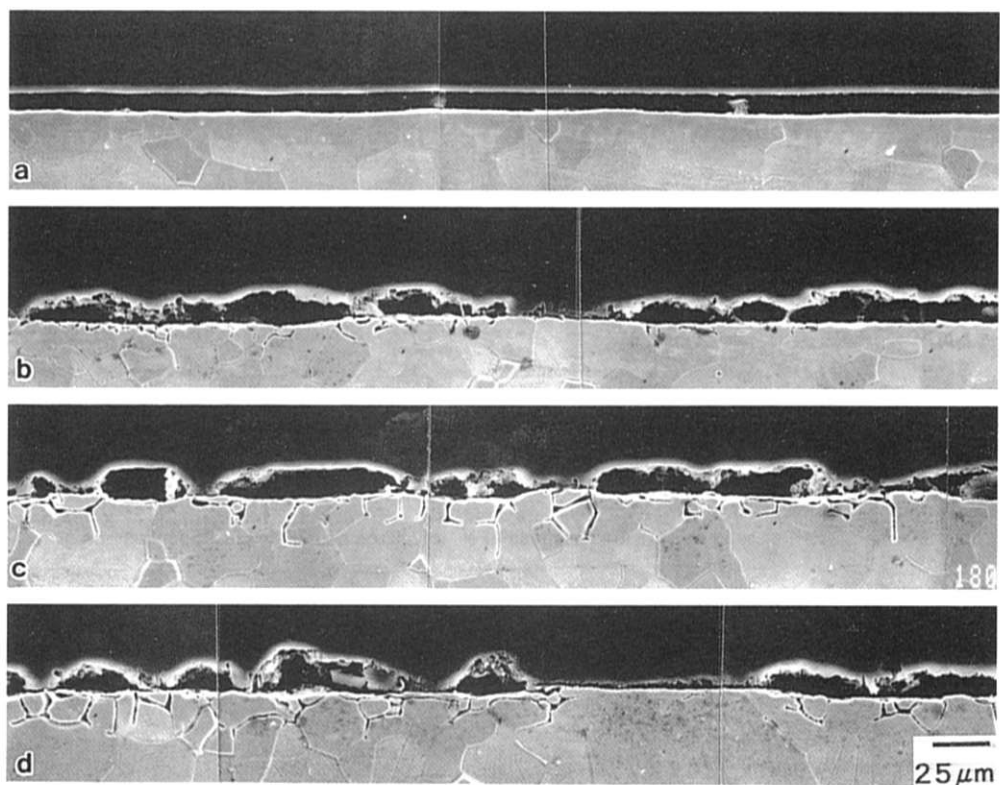
食されており、合金化過程での  $\alpha$ Fe 粒界への Zn 侵入をうかがわせる。なお、この粒界の腐食は浴 Al 濃度が高い程鋭敏な傾向がある<sup>11)</sup>。



第10図 剪断引張試験後の母材側表面に見られるレッジ構造の SEM 写真  
 Fig.10 SEM micrographs of the fractured surface on substrate side after the lap-shear test  
 15.0mass%Fe-0.1mass %Al coating



第9図 剪断引張試験後の母材／皮膜界面の SEM 写真  
 (a) Al : 0.10mass %, Fe : 8.7mass %, 母材側 (b) Al : 0.18mass %, Fe : 10.6mass %, 母材側  
 (c) Al : 0.18mass %, Fe : 10.6mass %, 皮膜側  
 Fig.9 SEM micrographs of substrate/coating interface structure after lap-shear test  
 (a) Al : 0.10mass%, Fe : 8.7mass%, substrate side (b) Al : 0.18mass%, Fe : 10.6mass%, substrate side  
 (c) Al : 0.18mass%, Fe : 10.6mass%, coating side



第11図 合金化過程で生じる断面皮膜形態の変化

(0.15mass % Al-Zn浴ラボめっき, 773Kでの合金化, 9 mass %硝酸-エタノールエッチ)  
 (a) めっきまま, (b) 60s, (c) 180s, (d) 300s

Fig.11 Change in cross-sectional view of coating during galvannealing (Galvanized in 0.15mass%Al bath in the lab., galvannealed at 773K, etched with 9mass% nitric acid-ethanol)  
 (a) As-galvanized, (b) 60s, (c) 180s, (d) 300s

## 4. 考 察

引張剪断接着強度あるいは低温チッピング剥離径に対しては各種の要因が影響すると考えられ、使用する接着剤や塗膜樹脂の特性、あるいは母材の強度に依存すると考えられる。しかし、本稿の範囲では母材特性および接着剤や塗膜樹脂の特性は一定と見なせるので、接着強度あるいはチッピング剥離径の変動はめっき皮膜構造あるいはめっき/鋼の界面構造等GA化反応に起因するものと考えられる。

さらに本稿の範囲内では引張剪断接着強度と低温チッピング性はほぼ対応する変化の挙動を示したので、一括して界面密着性としてこれらの特性を捉えGA反応の観点からの考察を試みたい。

さて、界面密着性に影響する因子として考えられる要因の一つにめっき皮膜の延性あるいは脆性がある。めっき皮膜の延性の有無は界面密着性に影響すると考えられる。仲澤ら<sup>2)</sup>は、引張剪断接着試験において金属間化合物系のめっきの場合に、めっき/鋼板での界面剥離を伴う接着強度の低下を報告しており、純亜鉛めっきの場合、こうした強度低下は起らないとしている。また、Kawaguchiら<sup>4)</sup>が行った低温チッピングによる評価においても溶融亜鉛めっきままでほとんど剥離しないことが示されている。第2図の

結果においても、皮膜Fe濃度が6%Fe未満の領域で高い界面強度が確保されており、この領域で存在する $\eta$ 相の延性が、皮膜中におけるクラックの発生・進展を抑制するものと考えられる。

さて、合金化が進み $\eta$ 相がほとんど消失すると、第2図の極小領域のように界面強度は著しく低下するが、皮膜Fe濃度の更なる増加により界面密着性は回復傾向を示す。 $\eta$ 相の消失による急激な界面密着性の低下は、延性相の消失と対応するが、皮膜Fe濃度11%超の範囲での界面密着性の回復は、めっき層を構成する相の硬度の変化等では説明しがたい。なぜなら、一般に最も脆いと考えられる $\Gamma$ 1相やそれに準じる $\Gamma$ 相が皮膜Fe濃度11%超の領域では第4図のように肥大化するからである。したがって、 $\eta$ 相が共存しない範囲での界面密着性の変化は、めっき層を構成する相の機械的な特性の変化によっては説明し難いと考えられる<sup>13)</sup>。

本稿の範囲では、GA皮膜の界面密着性の支配的因子は、 $\eta$ 相が共存する低Fe組成の範囲を除き、界面の幾何学的な形態および鋼板表層の $\alpha$ Feの粒界構造であると考えられる。

界面の凹凸形状の界面密着性に対する寄与については、例えば、Robertson<sup>14)</sup>の耐熱鋼における酸化皮膜の密着性

に関して用いたモデルを援用すれば、平坦な界面に対し凹凸形状を有する界面は  $(1 + \chi^2)$  倍だけ臨界歪エネルギー解放率が大きいとされている。ここで

$$\chi = \beta \cdot H^2 / L$$

であり、 $H$  は界面粗さの振幅幅、 $L$  は界面粗さのピッチ、 $\beta$  は定数である。したがって、界面に深くかつピッチの細かい凹凸が形成される場合界面強度が向上すると考えられる。

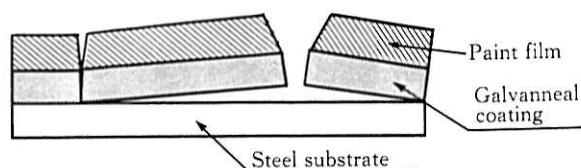
本稿における知見の一つは  $\Gamma$  相がかなり成長した領域での界面密着性の回復であるが、第8図のように皮膜 Fe 濃度が増加し、 $\Gamma$  相がかなり成長すると  $\alpha$ Fe/ $\Gamma$  界面において 100nm オーダーのピッチでレッジの形成が認められる。こうした微細な凹凸が界面の密着性の向上に寄与することは上記のモデルから十分考えられるであろう。

また、めっき浴中の Al 濃度增加により皮膜/基板界面強度が上昇する現象についても第7図(b)のようにめっき/鋼界面に  $\alpha$ Fe 粒径オーダーのピッチの凹凸が形成されることが理由の一つとして考えられる。こうした  $\alpha$ Fe 粒径オーダーのピッチの凹凸が形成される理由は、極低炭素 Ti 添加 IF 鋼においては、めっき浴の Al 濃度が高い場合、(111)  $\alpha$  における Fe-Zn 反応が  $\alpha$ Fe 粒界や (100)  $\alpha$ 、(101)  $\alpha$  結晶面上に比べて遅く、結果として (111)  $\alpha$  面における鋼の侵食量が小さいために生じると考えられる<sup>11), 15)</sup>。もっとも、 $\alpha$ Fe 粒径オーダーの凹凸は先の Robertson のモデルに従えば  $L$  に対して  $H$  が非常に小さく、したがって界面密着性向上への寄与は 100nm オーダーのピッチで形成するレッジに比較し小さいものと思われる。

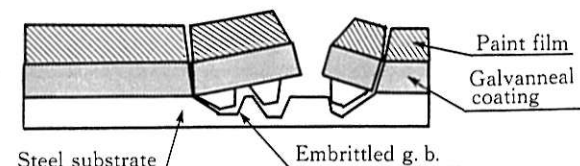
以上の考察から、高合金化による、あるいはめっき浴 Al 濃度の増加による界面密着性の向上が、界面の形態的な変化からある程度定性的に説明できる。しかしながら、こうした界面の形態的な変化にはほぼ交絡する形で鋼板表層の  $\alpha$ Fe 粒界の構造変化のあることも見逃せない。

極低炭素 Ti 添加 IF 鋼においては、合金化反応過程で  $\alpha$ Fe 粒界に Zn が侵入することが知られている<sup>16)</sup>。第10図の破面形態や、第11図の腐食形態でも  $\alpha$ Fe の粒界脆化の発生が推察できる。Zn 侵入による  $\alpha$ Fe 粒界の脆化は、鋼の最表層に留まる限りは、界面の密着性に有利に働くと考えられる。即ち、めっき層に発生したクラックの伝播過程において、クラックの伝播経路が第12図(b)のように迂回もしくは分岐するため、めっき/鋼板界面の剥離が緩和されるものと考えられる。

第13図は浴 Al 濃度、皮膜 Fe 濃度の変動によるめっき層・界面の構造変化を模式的に示したものである。浴 0.1% Al 以下の低 Al 条件の合金化が完了する近傍(第13図(a))では界面形態は平坦で  $\alpha$ Fe 粒界の脆化も抑制される。浴 Al 濃度が高いと鋼素地に依存した反応速度の差異が顕在化して界面の  $\alpha$ Fe 粒径オーダーの凹凸が発生するとともに、 $\alpha$ Fe の粒界が幾分脆化する(第13図(b))。高合金化状態では界面に微細レッジ構造が生じるとともに  $\alpha$ Fe 粒界の脆化



(a) Low Al coating marginally alloyed



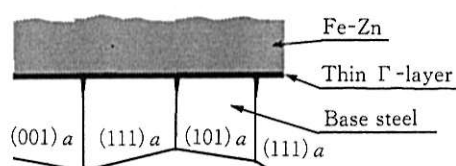
(b) High Al coating

第12図 剥離試験の後の皮膜断面の模式図

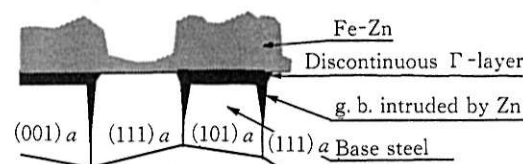
- (a) 合金化完了時の低 Al 濃度皮膜
- (b) 高 Al 濃度皮膜

Fig.12 Schematic diagram showing cross-sectional microstructure of coating after peeling test

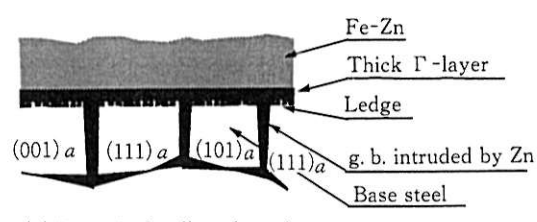
- (a) Low Al coating marginally alloyed
- (b) High Al coating



(a) Low Al coating marginally alloyed



(b) High Al coating



(c) Excessively alloyed coating

第13図 合金化に伴う皮膜構造の模式変化 (母材: IF 鋼)

Fig.13 Schematic representation of change of coating structure with galvannealing (Substrate: IF steel)

が更に顕著となる(第13図(c))。もっとも高合金化による粒界の脆化は、55% Al-Zn での事例のように、Zn の  $\alpha$ Fe 粒内への拡散で最終的には緩和される<sup>17)</sup>可能性もあるかも知れない。いずれにしろ、第13図に示したような界面形態、 $\alpha$ Fe 粒界の脆化が界面の密着性の変動にかなり大きな影響を及ぼしているものと考えられる。

また、以上の点から GA 皮膜の界面密着性向上の観点に

立てば、皮膜 Fe 濃度あるいは浴 Al 濃度の増加が有効な方法である。しかし、皮膜 Fe 濃度の増加は通常、皮膜の耐パウダリング性の低下をもたらし、また浴 Al 濃度の過剰な増加はめっき表面に激しい凹凸をもたらすので、これらの点を考慮した上で鋼板表層の粒界構造を含めた界面構造の制御が重要であると思われる。

## 5. 結 論

773Kで合金化処理した極低炭素 Ti 添加鋼GA鋼板のめっき／鋼界面の密着性を引張剪断接着試験、低温チッピング試験により評価し、以下の結論を得た。

- (1)界面密着性は $\eta$ 相の消失により急激に低下するが、高合金化により回復する。合金化が完了する近傍では界面密着性が最も低い傾向にある。
- (2)浴 Al 濃度の上昇により上記の合金化が完了する近傍における界面密着性の低下が緩和される。
- (3)界面密着性に関与する因子として、①GA化反応が母材

組織に依存する結果として生じる $\alpha$ Fe粒径オーダーのピッチのめっき／鋼界面の凹凸、② $\Gamma$ 相成長の過程で生じる $\Gamma/\alpha$ 界面のレッジ構造の形成、③ $\alpha$ Fe粒界へのZn侵入により生じる鋼表層 $\alpha$ Fe粒界の脆化が考えられた。



中森俊夫/Toshio Nakamori

本社 知的財産部 参事  
(問合せ先: 06-489-5723)

## 参考文献

- 1) 小久保一郎、野村伸吾、塙田明俊：神戸製鋼技報、36(1984), p.102
- 2) 仲澤真人、糸見誠、米野寛：日本接着協会誌、25 (1989), p.9
- 3) 中森俊夫、坂根正、須藤忠三、瀧谷敦義：鉄と鋼、77 (1991), p.105.
- 4) H. Kawaguchi, A. Tanaka, S. Sudo and H. Nakano : 3rd International Conference on Zinc and Zinc Alloy Coated Steel Sheet (GALVATECH '95), Chicago, (1995), p.605
- 5) 徳永良邦、山田正人、羽田隆司：鉄と鋼、72 (1986), p. 997.
- 6) T. Nakamori and A. Shibuya : 1988 World Materials Congress, Chicago, 'Corrosion Resistant Automotive Sheet Steels', ed L. Allegra, ASM, (1988), p.139.
- 7) 中山元宏、金丸辰也、沼倉行雄：CAMP-ISIJ, 5 (1992), p.1665
- 8) 板橋雅己、青木智久、橋高敏晴：日新製鋼技報, No. 69 (1994), p.48
- 9) T. Nakamori, Y. Adachi, M. Arai and A. Shibuya : ISIJ International, 35 (1995), p.1494
- 10) 足立吉隆、荒井正浩、中森俊夫：鉄と鋼、80(1994), p.225
- 11) 足立吉隆、荒井正浩、中森俊夫：鉄と鋼、80(1994), p.647
- 12) 中森俊夫、荒井正浩、武内孝一、瀧谷敦義、土岐保、保母芳彦：CAMP-ISIJ, 8 (1995), p.1546
- 13) W. van Koesveld, M. Lamberigts, A. van der Heiden, and L. Bordignon : 3rd International Conference on Zinc and Zinc Alloy Coated Steel Sheet (GALVATECH '95), Chicago, (1995), p.343
- 14) J. Robertson : Material Science Tech., 6 (1990), p.81
- 15) 足立吉隆、中森俊夫、龟井一人：日本金属学会誌、56 (1992), p.1235
- 16) I. Gupta : SAE-840216, (1984)
- 17) L. Allegra, H. E. Townsend : Metall. Trans. A 14A (1983), p.401